

# EA871 – LAB. DE PROGRAMAÇÃO BÁSICA DE SISTEMAS DIGITAIS

## EXPERIMENTO 6 – Relógio em Tempo Real

Profa. Wu Shin-Ting

**OBJETIVO:** Apresentação do princípio de funcionamento de temporizadores e uma aplicação em relógios.

**ASSUNTOS:** Configuração e programação do MKL25Z128 para processamento de eventos temporais.

**O que você deve ser capaz ao final deste experimento?**

Ter uma noção do módulo gerador de sinais de relógio de multipropósito.

Programar os temporizadores *PIT* e *RTC* integrados no MKL25Z128.

Entender a diferença entre diferentes formatos de representação de tempo e a conversão entre eles.

Saber converter valores inteiros em *strings* de algarismos em ASCII para serem renderizados no LCD.

Saber programar timeout com uso de um temporizador.

Conhecer uma forma de proteger as regiões críticas das interrupções.

Saber definir e usar uma função em C.

Saber reconstruir o fluxo de controle de um *software* com uso de um depurador.

Projetar um relógio digital com uso de um temporizador.

## INTRODUÇÃO

No roteiro 5 [5] apresentamos os conceitos básicos relacionados com temporizadores e aplicamos o temporizador integrado ao núcleo/processador do KL25Z, *SysTick* (Seção B3.3/página 275 em [2]), no controle de diferentes intervalos de tempo. Neste experimento, vamos apresentar dois módulos-periférico de temporizadores, *PIT* (*Periodic Interrupt Timer*, Capítulo 32/página 573 em [3]), e *RTC* (*Real Time Clock*, Capítulo 34/página 597 em [3]), que, como *SysTick*, só geram eventos capazes de interromper fluxos de execução. Porém, diferentes do *SysTick* que geram sinais síncronos, os eventos gerados por *PIT* e *RTC* são assíncronos em relação à operação do processador. A seção de descrição funcional (*Functional Description*) em cada capítulo de [3] apresenta os detalhes técnicos do respectivo módulo. Mostramos, através da implementação de um relógio digital, a configuração e o uso das funções configuradas de *RTC* e *PIT* na execução de uma tarefa específica.

No projeto `relogio_digital` o horário é mostrado no meio da primeira linha do visor do LCD no formato padrão HH:MM:SS (24 horas) (**estado normal**). O horário é ajustado a cada segundo com base nas contagens feitas pelo *RTC*. É possível ajustar o horário por meio de três botoeiras cujas **bordas de subida** são tratadas como potenciais eventos de interrupção. Sempre se passa do **estado NORMAL** para o **estado incremente\_horas**, **incremente\_minutos** e **incremente\_segundos** quando se aciona, respectivamente, a botoeira *NMI*, *IRQA5* e *IRQA12*. **Se dentro de um *timeout=2.75s* nenhuma chave for acionada, o relógio volta de qualquer um dos estados de ajuste ao estado NORMAL. Somente neste instante, as contagens nos registradores *RTC\_TPR* e *RTC\_TSR* são, de fato, atualizadas.** Automaticamente, o *RTC* passa a fazer a contagem a partir dos novos valores setados e o LCD passa a mostrar o novo horário. Um diagrama de máquina de estados do relógio digital especificado é mostrado na Figura 1. Note que para cada estado de ajuste, há um estado **espera**

correspondente. Vamos ver que essa foi uma decisão de projeto para evitar processamentos desnecessários do LCD.

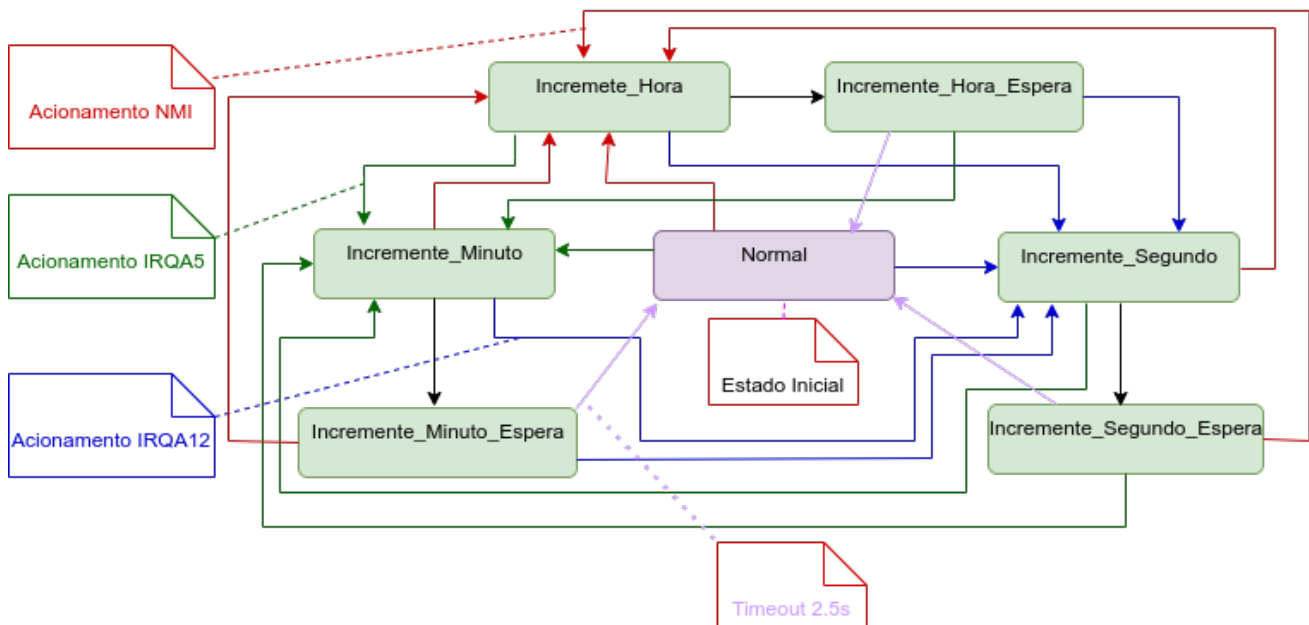


Figura 1: Máquina de estados de relógio\_digital (editado em [14]).

### Módulo MCG: MCGOUTCLK

O sinal **MCGOUTCLK** é gerado pelo módulo *Multipurpose Clock Generator* (MCG) e usado para sincronizar as operações dos módulos integrados num microcontrolador. Em MKL25Z, a sua fonte é selecionável via o campo de configuração `MCG_C1_CLKS` dentre as 3 fontes (Seção 24.3.1/página 372 em [3]): sinal de relógio de referência interna, sinal de relógio de referência externa e sinal gerado por um laço de sincronismo, PLL ou FLL.

Os geradores de sinais por um laço de sincronismo de fase (*Phase-Locked Loop*, PLL) ou de frequência (*Frequency-Locked Loop*, FLL) são circuitos comumente aplicados em sincronização de relógios e geração de sinais. Eles geram, respectivamente, sinais sincronizados com uma fase ou uma frequência de entrada. Em MKL25Z, um sinal por FLL é gerado a partir de um sinal de referência interna (`MCGIRCLK`) ou externa (`OSCERCLK`) do módulo MCG sincronizado com uma referência de entrada de frequência. O **FLL** compara a frequência do sinal de referência com a referência de entrada e ajusta a frequência do sinal de referência para corresponder ao sinal de referência de entrada. Um sinal por PLL é controlado por um sinal de referência externa (`OSCERCLK`). O **PLL** compara a fase de entrada com a fase de saída gerada pelo circuito e ajusta a fase de saída de acordo para mantê-la sincronizada com a de entrada. No IDE *CodeWarrior*, o sinal **MCGOUTCLK** é gerado por FLL (`MCG_C1_CLKS` resetado em 0b00 (Seção 24.3.5/página 376 em [3]), `MCG_C5_PLLCKEN0` e `MCG_C5_PLLSTEN0` em '0' (Seção 24.3.1/página 372 em [3])) na inicialização de MKL25Z. Nos nossos experimentos, usamos essa configuração padrão.

### Distribuição de Sinais de Relógio

Os contadores integrados em PIT e RTC são pulsados por sinais de relógio de frequências distintas em função dos seus propósitos. O primeiro circuito é para gerar eventos de interrupções periódicas em frequências configuráveis e o segundo para gerar acuradamente eventos de interrupções periódicas em 1Hz. Para atender diferentes velocidades de operação dos módulos-periférico integrados, KL25Z dispõe do módulo *Multipurpose Clock Generator* (MCG) dedicado à geração das referências aos sinais de relógio dos módulos (Figura 24-1/página 370 em [3]). Em conjunto com o módulo *System Integration Module* (SIM), são derivados os sinais de relógio de barramentos (*bus interface clock*) que conectam os módulos (*platform clock*, *system clock*, *bus clock* e *flash clock*) e os sinais de relógio (*internal clock*) requeridos por alguns módulos para a sua operação interna (*core clock*, LPO,

MCGOUTCLK, MCGPLLCLK, MCGFLLCLK, MCGIRCLK, OSCERCLK, ERCLK32K) (Tabela 5-2/página 121 em [3]).

O *bus interface clock* é utilizado para sincronizar a comunicação entre componentes através dos barramentos, os *internal clocks* são usados para sincronizar as operações internas de cada componente do sistema, como os contadores dos temporizadores. PIT e RTC compartilham o mesmo barramento cujo sinal de relógio (*bus interface clock*) é *bus clock*. Eles diferem nos sinais de relógio *internos* que alimentam seus contadores: PIT usa o mesmo *bus clock*, enquanto RTC tem três alternativas, selecionáveis por *software*, para pulsar os seus contadores internos (Seção 5.7.3/página 123 em [3]).

O sinal de relógio de barramento (*bus clock*) resulta da divisão do sinal MCGOUTCLK (20.971.520Hz) por dois circuitos divisores no módulo SIM, OUTDIV1 e OUTDIV4 (Figura 5-1/página 116 em [3]). Os dois divisores são configuráveis através do registrador de configuração SIM\_CLKDIV1 (Seção 12.2.12/página 210 em [3]). No entanto, o divisor OUTDIV1 só pode ser configurado na inicialização condicionada à configuração setada no registrador de configuração FTF\_FOPT[LPBOOT] (Seção 27.33.4/página 429 em [3]). Por configuração padrão do IDE, OUTDIV1 = 1.

As 3 alternativas de fontes de sinais para o sinal de relógio ERCLK32K que pulsa os contadores do RTC são (Seção 5.7.3/página 123 em [3]): o sinal OSC32KCLK gerado pelo módulo OSC (Seção 25.3/página 161 em [3]), um sinal externo RTC\_CLKIN conectado no pino 1 da porta PTC (Seção 10.3.1/página 161 em [3]), e o sinal LPO de 1kHz gerado pelo controlador de gerenciamento de energia (*Power Management Controller*, PMC) para operações nos modos de baixo consumo. Elas são selecionáveis pelo registrador de configuração SIM\_SOPT1 (Seção 12.2.1/página 193 em [3]). A seção 4.1.3.1/página 38 em [11] demonstra o uso desse registrador para configurar as três alternativas de fontes de relógio para RTC.

## **Módulo PIT**

**PIT** (*Periodic Interrupt Timer*) é um módulo com duas unidades de temporizador de 32 *bits*, configurável para uma unidade de 64 *bits* por meio do registrador de controle PIT\_TCTRLn. Através do registrador de controle PIT\_MCR, configura-se a sua habilitação e a sua operação no modo *Debug*. Como SysTick, a sua contagem é decrescente. Os temporizadores carregam no contador PIT\_CVALn a contagem máxima configurada no registrador de dados PIT\_LDVALn. Em particular, quando as duas unidades estiverem encadeadas e os seus registradores PIT\_LDVALn forem carregados com 0xFFFFFFFF, PIT operará como temporizador vitalício (*lifetime timer*) e os valores de contagem em 64 *bits* podem ser acessados pelos registradores de dados PIT\_LTMR64H e PIT\_LTMR64H. O valor é decrementado até atingir 0, quando a *flag* de interrupção do registrador de estado PIT\_TFLGn é setada em '1'. E se o *bit* de habilitação de interrupção no registrador de controle PIT\_TCTRLn estiver em '1', é ativado o sinal de requisição de interrupção IRQ 22/vetor 38 (Tabela 3-7/página 52 em [3]). A *flag* PIT\_TFLGn\_TIF só é resetada em '0' quando se escreve '1' nela (Seção 32.3.7/página 580 em [3]). Para reiniciar uma contagem, é necessário desabilitar o temporizador, resetando o *bit* PIT\_TCTRL\_TEN em '0', e reabilitá-lo, setando PIT\_TCTRL\_TEN em '1'. Para modificar o conteúdo de PIT\_LDVALn, é opcional a desabilitação do temporizador.

Sem circuitos de *pre-* e *postscaler*, o período de interrupções  $T_{PIT}$ , em segundos, do PIT é derivado da frequência de *bus clock*:

$$T_{PIT} = \frac{PIT_{LDVAL}}{\frac{MCGOUTCLK}{OUTDIV1 \times OUTDIV2}} = \frac{PIT_{LDVAL} \times OUTDIV2}{MCGOUTCLK} = \frac{PIT_{LDVAL} \times OUTDIV2}{20.971.520}. \quad (1)$$

No entanto, similar ao módulo SysTick, podemos inserir, por *software*, *postscaler* e aumentar o período de  $T_{PIT}$  como vimos no roteiro 5 [5].

Como nos módulos PORTx, o sinal de relógio de PIT é desabilitado na inicialização do KL25Z (Seção 12.2.10/página 207 em [3]). É necessário habilitá-lo através do registrador de configuração SIM\_SCGC6 (Seção 12.2.10/página 207 em [3]). Nas Seções 32.5/página 582, 32.6/página 583 e 32.7/página 584 em [3] há exemplos de configuração do PIT para diferentes modos de operação. Assim que o módulo for ativado, o seu circuito, em processamento paralelo do núcleo, gera eventos de interrupção periódicos na periodicidade  $T_{PIT}$ . Se o controlador NVIC estiver configurado para atender IRQ22, o fluxo de controle é desviado para a rotina de serviço. Consultando o arquivo `Project_Settings/Startup_Code/kinetis_sysinit.c` gerado pelo IDE *CodeWarrior*, o nome da rotina de serviço declarado para a IRQ 22 é `PIT_IRQHandler`.

No KL25Z os eventos de interrupção gerados pelo PIT podem ser usados como gatilhos dos módulos ADC (*Analog-Digital-Converter*, Capítulo 28/página 457 em [3]), TPM (*Timer/PWM*, Capítulo 31/página 547 em [3]), DAC (*Digital-to-Analog Converter*, Capítulo 30/página 537 em [3]) e controlador de DMA (*Direct Memory Access*, Capítulo 23/página 349 em [3]). A tabela 3-1/página 45 em [3] sintetiza as interconexões entre os módulos presentes em KL25Z. As habilitações dos gatilhos são controláveis, por *software*, através de registradores de configuração localizados nos módulos interconectados, como no módulo TPM (Tabela 3-38/página 86 em [3]), ou no módulo SIM em interconexões com o módulo ADC (Seção 12.2.6/página 200 em [3]). O Capítulo 7/página 67 em [1] apresenta uma aplicação do DMA nas transferências diretas de dados entre a memória e um periférico usando PIT em gatilhos de transferências.

## Módulo RTC

**O módulo RTC é um temporizador dedicado para contar segundos, sob a condição de que a frequência da fonte de clock seja 32,768kHz.** Figura 2 apresenta um diagrama de blocos do módulo RTC.

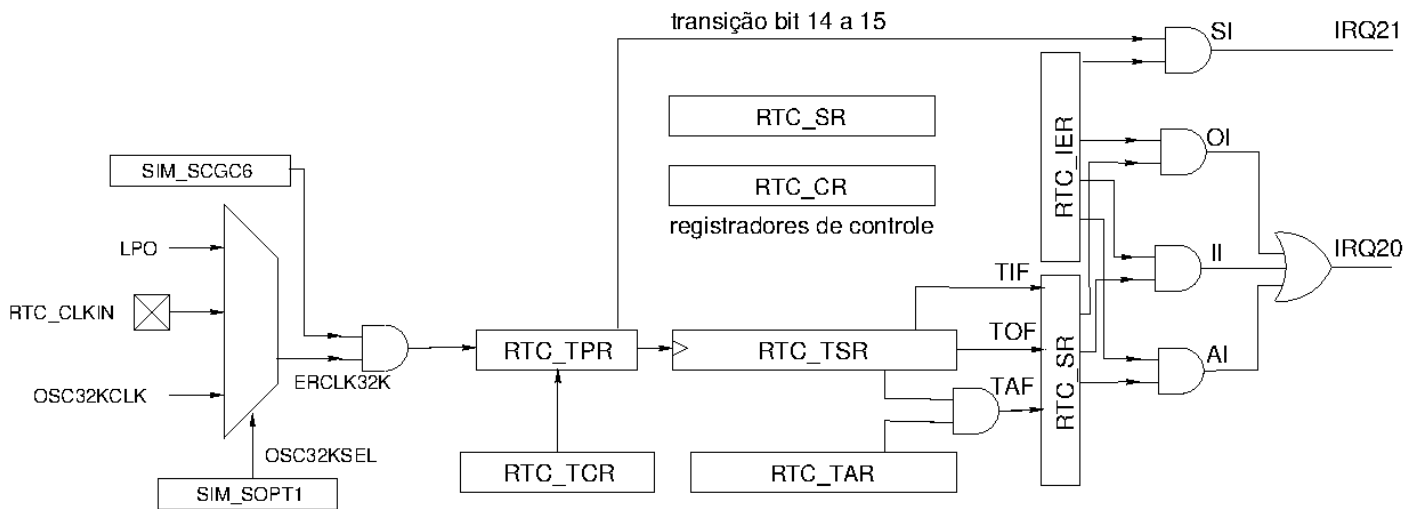


Figura 2: Diagrama de blocos do módulo RTC.

O seu **contador de segundos** `RTC_TSR` de 32 *bits* é atualizado a cada  $2^{15}$  tiques de relógio por meio de um divisor *prescaler* cuja contagem só acontece se o contador estiver habilitado e as *flags* de *Overflow* (`RTC_SR_TOF`) e *Time Valid* (`RTC_SR_TIF`) do registrador de estado `RTC_SR` estiverem em '0'. O valor da contagem em *prescaler* pode ser acessado através do registrador de dados `RTC_TPR`. Por isso, com um sinal de relógio de frequência 32,768kHz, o período  $T_{RTC}$  do circuito de *prescaler* é

$$T_{RTC} = 2^{15} \times \frac{1}{f} = 2^{15} \times \frac{1}{32768} s = 1 s. \quad (2)$$

Quando a contagem em `RTC_TSR` chega em  $2^{32}-1$ , pára-se o incremento. O *bit* `RTC_SR_TOF` é setado em '1' e os registradores `RTC_TSR` e `RTC_TPR` resetados em '0'. Esses dois registradores

podem ser também resetados, escrevendo ‘1’ no *bit* RTC\_SR\_TIF. Os conteúdos de RTC\_TPR e RTC\_TSR podem ser modificados, sempre na sequência RTC\_TPR e RTC\_TSR, quando o *bit* RTC\_SR\_TCE do registrador de controle/configuração RTC\_SR estiver em ‘0’ (contadores desabilitados) (Seção 34.3.2/página 607 em [3]).

Para aumentar a acurácia dos tempos medidos, há um circuito de compensação integrado no RTC, capaz de compensar desvios em relação aos valores nominais no intervalo entre 0,12ppm (*parts per million*) a 3906ppm. O valor de compensação deve ser configurado, por *software*, via o registrador de configuração RTC\_TCR. RTC só auxilia na definição do valor de compensação, gerando um sinal de 1Hz, acessível pelo pino 3 da porta C (RTC\_CLKOUT) (Seção 10.3.1/página 163 em [3]).

Projetado para operar com sinais de 32,768kHz, se selecionarmos a alternativa LPO de 1kHz para pulsar os contadores do RTC, o período  $T_{RTC-LPO}$  do circuito de *prescaler* passa a ser

$$T_{RTC-LPO} = 2^{15} \times \frac{1}{f} = 2^{15} \times \frac{1}{1000} s = 32,768 s. \quad (3)$$

e os incrementos no registrador de dados RTC\_TSR só acontecem em cada 32,768s. É, portanto, necessário reinterpretar, por *software*, os valores lidos de RTC\_TSR e RTC\_TPR para extrair os segundos conforme a seguinte relação

$$Segundos = \frac{TSR \times 32768}{f_{clock}} + \frac{TPR}{f_{clock}} = \frac{TSR \times 32768 + TPR}{f_{clock}}, \quad (4)$$

onde  $f_{clock}$  é a frequência do sinal de relógio. Para  $f_{clock} = 1000Hz$ , um segundo corresponde a 1000 incrementos no registrador RTC\_TPR (e não 32768 incrementos) e um incremento no registrador RTC\_TSR acontece em cada 32,768s (e não em 1s). Em outras palavras, a contagem em segundos passa a ser

$$Segundos = \frac{TSR \times 32768}{1000} + \frac{TPR}{1000} = \frac{TSR \times 32768 + TPR}{1000}, \quad (5)$$

ou seja, a representação de *Segundos* é desmembrada em duas partes:

$$\begin{aligned} TSR &= (Segundos \times f_{clock}) / 32768 = (Segundos \times 1000) / 32768 \\ TPR &= (Segundos \times f_{clock}) \% 32768 = (Segundos \times 1000) \% 32768 \end{aligned} \quad (6)$$

Note-se que, embora a segunda e a terceira expressões nas Eqs. (4) e (5) sejam equivalentes matematicamente, elas geram resultados distintos em operações inteiras dos processadores. A segunda expressão é a soma de dois termos truncados enquanto a terceira expressão é o truncamento da soma. O erro acumulado na segunda expressão é maior do que a da terceira expressão.

Como nos módulos PORTx e PIT, o sinal de relógio de RTC é desabilitado na inicialização do KL25Z (Seção 12.2.10/página 207 em [3]). É necessário habilitá-lo através do registrador de configuração SIM\_SCGC6 (Seção 12.2.10/página 207 em [3]). Assim que o módulo for ativado com as *flags* RTC\_SR\_TOF e RTC\_SR\_TIF em ‘0’, o seu circuito, em processamento paralelo do núcleo, inicia a contagem, mantendo os “tempos” em RTC\_TSR e RTC\_TPR atualizados.

Há no RTC um circuito de alarme que seta o *bit* RTC\_SR\_TAF em ‘1’ quando a contagem em RTC\_TSR se igualar com o valor configurado no registrador de dados RTC\_TAR (Seção 34.3.4/página 608 em [3]). Através do registrador de controle RTC\_IER, habilita-se solicitações de interrupções para as *flags* de interrupção RTC\_SR\_TOF (RTC\_IER\_TOIE), RTC\_SR\_TIF (RTC\_IER\_TIIE) e RTC\_SR\_TAF (RTC\_IER\_TAIE), e também para os incrementos em RTC\_TSR (RTC\_IER\_TSIE). É o único módulo que tem mais de uma IRQ associada, sendo uma dedicada para incrementos em segundos, conforme mostra a figura 1: IRQs 20 (*Alarm*) e 21 (*Seconds*)



(Tabela 3-7, página 53, em [3]). Se o controlador NVIC estiver configurado para atender a linha de interrupção solicitante, o fluxo de controle é desviado para a rotina de serviço. Consultando o arquivo `Project_Settings/Startup_Code/kinetis_sysinit.c` gerado pelo IDE *CodeWarrior*, os nomes das rotinas de serviço declarados para as IRQs 20 e 21 são, respectivamente, `RTC_Alarm_IRQHandler` e `RTC_Seconds_IRQHandler`.

### **Incremento de Segundos por Polling**

Para um mesmo *hardware*, pode-se programar RTC para ter comportamentos distintos que demandam diferentes fluxos de controle. Por exemplo, se for selecionado o sinal LPO para ser a fonte do sinal de relógio do RTC, a resolução dos eventos de interrupção *Seconds* e de `RTC_SR_TAF` passa de 1s para 32,768s. Não podemos mais aproveitar o circuito de interrupção por segundo implementado no módulo RTC para atualizar os horários por segundo. Uma solução é fazer esta atualização por *polling*, amostrando periodicamente os valores nos registradores `RTC_TSR` e `RTC_TPR` e compará-los com o valor anterior até que a diferença entre o valor lido e o último valor salvo seja 1s, como se faz no projeto `rot6_aula` [8].

### **Conversão entre Segundos e HH:MM:SS**

Representar os horários em segundos simplifica o circuito do RTC. Porém, o formato com que os potenciais usuários são familiarizados, seja no formato de 24 horas seja de 12 horas, é (DIA:)HH:MM:SS [4]. Nos ajustes dos horários de um relógio, pensa-se sempre em ajustar separadamente as unidades de tempo num dia (HH horas, MM minutos e SS segundos), e não em segundos como no módulo RTC. Precisamos atentar a essas diferenças em representações e desenvolver interfaces entre elas para que o modo de operação da máquina fique mais transparente possível para usuários. Isso aumenta a inclinação da curva de aprendizagem e a aceitabilidade do produto.

Converter o formato em segundos para o formato HH:MM:SS torna mais fácil implementar uma interface amigável e intuitiva para usuários, permitindo que estes façam ajustes por unidade de tempo. Isso pode reduzir a quantidade de instruções executadas em cada interação. Por outro lado, precisamos assegurar que os horários ajustados sejam convertidos para o formato entendível pelo módulo RTC e usar estes valores para atualizar os registradores `RTC_TPR` e `RTC_TSR` após os ajustes feitos. Aplicando a aritmética modular, a conversão entre segundos e os no formato (DIA:)HH:MM:SS é direta:

- de segundos para (DIA:)HH:MM:SS (a implementação em [4] assume, por padrão, que o valor de segundos seja menor ou igual a 86400)  
 $DIA = segundos / 86400;$   
 $sec = segundos \% 86400;$   
 $SS = sec \% 60;$   
 $MM = (sec / 60) \% 60;$   
 $HH = sec / 3600.$
- de (DD:)HH:MM:SS para segundos  
 $segundos = DD * 86400 + HH * 3600 + MM * 60 + SS;$

No projeto `rot6_aula` [8] foi declarado em `ISR.c` um vetor de 4 elementos `hor` para simplificar o processamento individual das 4 unidades de tempo, DIA, HH, MM e SS.

### **Conversão de Inteiros para Strings na Base Decimal**

Outro ponto a destacar é a conversão de um valor inteiro das unidades de tempo, horas, minutos e segundos, numa *string* de dígitos em ASCII para que o valor possa ser mostrado no visor do LCD [12] na forma como estamos familiarizados. É importante sempre manter em mente que **um LCD só renderiza os *bitmaps* dos endereços da Tabela de Fontes (CGROM) que estão escritos na**

**memória DDRAM.** Cabe ao projetista decidir o que escrever em DDRAM para que o resultado renderizado no visor seja condizente com a expectativa. Faz parte da exibição de valores inteiros no LCD a conversão de inteiros para *strings* de caracteres. Um algoritmo popular de conversão consiste de 2 partes: (1) extrair a sequência de dígitos do valor de interesse pelas divisões sucessivas por 10 [7], e (2) somar o valor numérico de cada algarismo com o valor numérico de '0'==0x31==48 para obter o código ASCII correspondente [6]. Em [10] é apresentada uma implementação do algoritmo em C em que deve ser especificada a priori a quantidade de dígitos que um valor inteiro contém. A implementação `ULToStr` é incluída no arquivo `util.c` em `rot6_aula` [8]. Porém, pelo fato das unidades de um horário do dia serem sempre representadas por 2 dígitos, mesmo quando o valor é menor que 10, foi usada uma implementação "personalizada" para as unidades de tempo em `ConvertSectoDayString` (`util.c`).

### Regiões Críticas

Os ajustes nos horários de um relógio digital são feitos tipicamente através dos pressionamentos de botoeiras, como no projeto `rot6_aula` [8]. Esses eventos assíncronos podem interromper, na resolução de instruções de máquina (*assembler*), um fluxo de controle em qualquer ponto, como entre as instruções que atualizam o visor do LCD. Neste caso, o conteúdo do vetor `hor` pode ser modificado no tratamento de uma interrupção e fazer com que, ao retornar para as instruções de renderização do LCD, o restante dos valores mostrados não sejam mais os que eram para ser exibidos. Isso acontece porque o bloco de instruções no tratamento de interrupções e o bloco as instruções do fluxo de controle principal fazem acessos ao mesmo vetor `hor`. Para que as ações de um bloco não interfiram de forma indesejada nos resultados gerados pelo outro, uma solução é assegurar que os seus **processamentos** sejam **mutuamente exclusivos**. Denominamos de **regiões críticas** esses blocos de instruções. Como protegê-las de interrupções indevidas é um dos desafios para programação de microcontroladores [13].

Uma solução mais simples, muito encontrada na programação de microcontroladores, é manter as interrupções indesejadas desabilitadas durante a execução de uma região crítica. Os mecanismos de interrupção implementados na maioria dos módulos do KL25Z envolve dois circuitos principais: o circuito que configura a solicitação de interrupção (também chamado de circuito de geração de interrupção) e o circuito que configura o atendimento da interrupção (também chamado de circuito de tratamento de interrupção). Portanto, essa desabilitação pode ser feita em dois pontos: na geração dos eventos de interrupção pelos módulos e no atendimento de eventos de interrupção pelo controlador NVIC (Seção B3.4/página 281 em [2]). No caso de eventos gerados pelos sinais digitais de propósito geral, como os das botoeiras, podemos descartá-los na fonte resetando o campo `PORTA_PCRn_IRQC` em `0b0000`, ou podemos desabilitar a linha de requisição de interrupção `IRQ30` que chega em NVIC escrevendo '1' no *bit* 30 do registrador de configuração `NVIC_ICER`.

Em `rot6_aula` [8] as duas instruções de ler o estado e o horário atual do sistema definem uma região crítica. Para garantir que as duas informações, estado e horário, se mantenham consistentes, a região é protegida de interrupções com a desabilitação de interrupções antes de iniciar a execução da região. Após a execução, as interrupções são reativadas.

### Frequência em Atualizações do RTC

Como os registradores só podem ter seus valores modificados quando o contador de tempo estiver desabilitado (Seção 34.3.2/página 607, em [3]), sempre que formos atualizar os horário no RTC precisamos executar duas instruções de acesso ao registrador de controle `RTC_TCR`, um para desabilitar e outro para reabilitar as contagens. Portanto, por desempenho, deve-se diminuir a frequência de atualização dos registradores `RTC_TPR` e `RTC_TSR` sem comprometer a responsividade do sistema.

Em `rot6_aula` [8] processamos os ajustes nas unidades de horas, minutos e segundos somente no vetor `hor` enquanto um usuário interage com o relógio e postergamos as atualizações do conteúdo

dos registradores do RTC, em segundos, para após a confirmação dos valores entrados em `hor`. No entanto, por amigabilidade, renderizamos os valores intermediários entrados para que usuários saibam o que o sistema entendeu das suas ações.

### **Timeout**

**Timeout** é um período de tempo permitido em um sistema antes que um evento ocorra, a menos que outro evento especificado ocorra primeiro; em ambos os casos, o período termina quando um dos eventos ocorre. Em `rot6_aula [8]` a confirmação dos valores entrados em `hor` é implementada com uso de PIT. Ao invés de mais um movimento mecânico de digitação de uma "tecla de confirmação", adotamos a estratégia de confirmação por falta de acionamentos. Se transcorrer um intervalo de tempo maior do que o tempo permitido para uma nova digitação, o sistema retorna para o estado de relógio atualizando o valor do horário em cada segundo. É reiniciada a contagem de tempo no PIT cada vez que haja uma interação com a botoeira IRQA5.

### **Definição e Uso de uma Função**

Todas as funções em C podem retornar um valor, que pode ser o conteúdo de um endereço ou um endereço, após a sua execução. Para que um compilador possa reservar um espaço de memória adequado para o valor retornado, é necessário declarar o tipo de dado do retorno seguindo a mesma convenção de declaração das variáveis: `<tipo_de_dado>` para um valor do tipo `tipo_de_dado` e `<tipo de dado *>` para um endereço de um valor do tipo `tipo_de_dado`. Em `rot6_aula [8]`, as declarações das funções em `util.h` e `ISR.h`, respectivamente

```
char *ConvertSectoDayString (uint32_t seconds, char *string)
```

```
tipo_estado ISR_LeEstado
```

indicam que `ConvertSectoDayString` retorna um endereço do tipo `char` e `ISR_LeEstado`, um valor do tipo `tipo_estado`. Para acessar os valores retornados, adota-se a mesma convenção aplicada para as variáveis: sem operador para o valor retornado; operador “endereço-de” `&` para o endereço do valor retornado, e operador “endereço-de” `*` para o conteúdo do valor retornaado.

Uma função é declarada como do tipo de dado `void`, quando ela não retorna nenhum valor. Todas as rotinas de serviço pré-declaradas no IDE CodeWarrior são do tipo `void`. Em muitas implementações é comum usar a função para retornar códigos de erros detectados na execução da função, permitindo que a função seja inserida diretamente num comando condicional.

Em `rot6_aula [8]` podemos, por exemplo, verificar o estado do sistema chamando diretamente a função `ISR_LeEstado` que retorna o valor do estado do sistema em `main (main.c)`

```
switch (ISR_LeEstado()) {  
  
}
```

inserimos a função `ConvertSectoDayString` como um argumento da chamada de `GPIO_escreveStringLCD` dentro da rotina `atualizaHorarioLCD` em `main.c`:

```
GPIO_escreveStringLCD (0x00, (uint8_t *)  
ConvertSectoDayString(segundos, hh_mm_ss)).
```

Demonstramos ainda a aplicação do retorno de uma função na atribuição de duas variáveis anterior e atual num único comando em `main (main.c)`:

```
anterior = RTClpo_getTime (&atual);
```



## **Processamento de Argumentos passados po Valor**

Na definição da função `ConvertSectoDay` em `util.c` do projeto `rot6_aula` [8] o primeiro argumento é passado por valor. Embora esse valor seja modificado dentro da rotina, o valor da variável `seconds` que é passado para ele não é modificado no escopo de `ConvertSectoDayString`. Mais uma demonstração da aplicação de passagens por valor numa chamada de função.

## **Engenharia Reversa de Software**

Engenharia reversa é uma técnica de descobrir o princípio de funcionamento de um sistema através da análise da sua estrutura e do seu comportamento. Ela pode ser aplicada na “dissecação” de códigos abertos para descobrirmos os algoritmos aplicados e os “pulos de gato”, como também na descoberta do funcionamento de códigos fechados [17]. Nesta disciplina vamos praticar a engenharia reversa sobre projetos que temos códigos-fonte usando as ferramentas de depuração disponíveis no IDE CodeWarrior (Seção 2.5/página 25 em [18]). Na maioria das vezes, o procedimento consiste em rastrear o fluxo de controle executando as instruções, passo a passo, a partir de uma linha de comando ou de uma chamada de função de interesse. Através da análise da forma como os dados são transformados e as bifurcações dos fluxos de controle, pode-se tentar reconstruir o algoritmo original. O ponto inicial de um rastreamento é tipicamente definido como um ponto de parada (*breakpoint*).

## **EXPERIMENTO**

Neste experimento vamos implementar o diagrama de máquina de estados do relógio digital mostrado na Figura 1. O módulo principal na implementação do relógio digital é `RTC`, tendo como fonte de clock `LPO` para seus contadores internos. Para detectar o *timeout* dos acionamentos das botoeiras foi utilizado o temporizador `PIT`. Assim que um acionamento válido de uma botoeira for detectado, é habilitado o temporizador que reinicia a contagem. Como o período máximo de `PIT` é  $2^{32}/20971520 = 204.8s$  para um sinal de barramento (*bus clock*) em 20,97MHz, podemos configurá-lo, sem *postscaler* por *software*, para cronometrar *timeouts* de 2,75s.. Adicionalmente, são necessários os módulos `GPIOC/PORTC` para interfacear com o LCD e `GPIOA/PORTA/NVIC` para interfacear com os eventos de interrupção gerados pelas botoeiras. Figura 3 mostra um diagrama de componentes utilizados na implementação do relógio digital proposto.

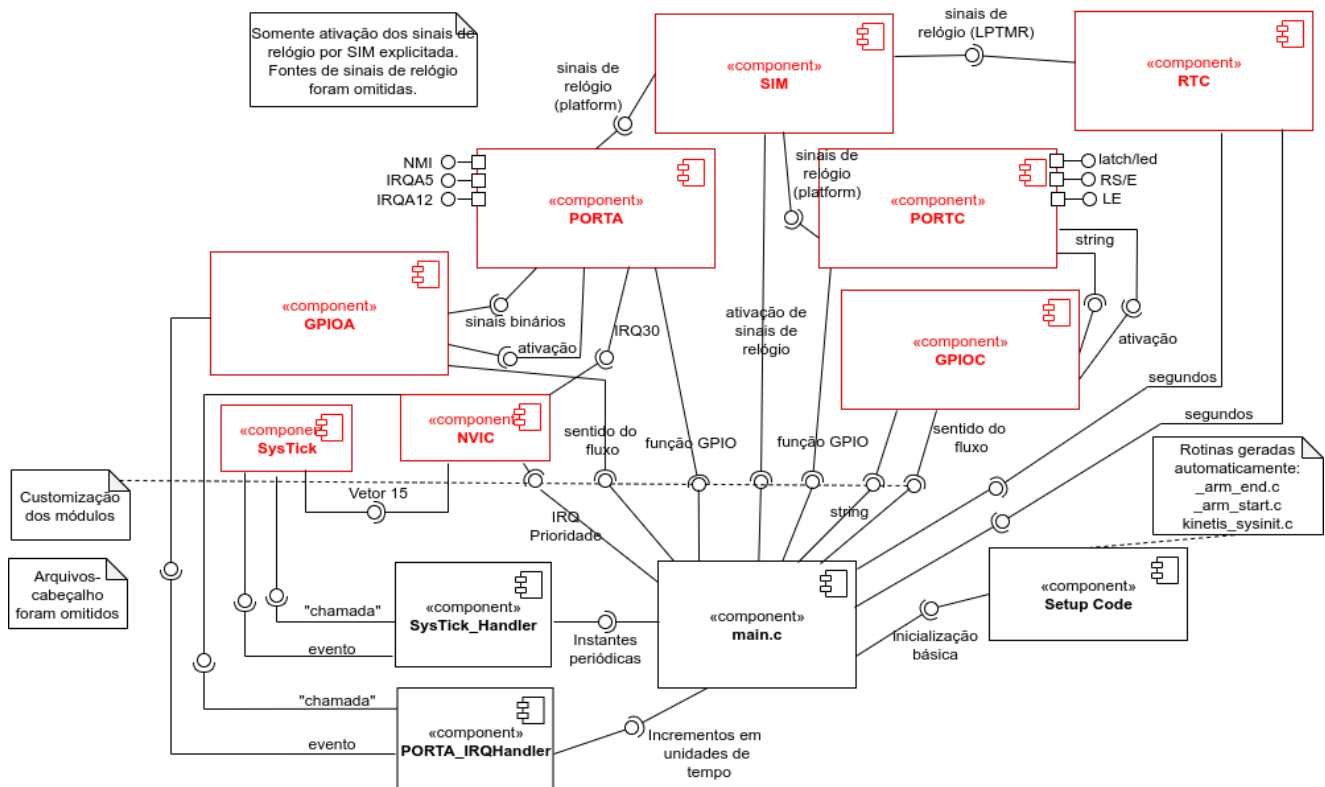


Figura 3: Diagrama de componentes do relógio\_digital (editado em [14]).

Segue-se um roteiro para o desenvolvimento do projeto. Usa-se na implementação do projeto as macros do arquivo-cabeçalho `derivative.h`.

- 1 Carregue o projeto `rot6_aula` [8] no IDE CodeWarrior, substitua a função `espera_5us` definida em `util.c` pela função que você implementou no roteiro 3 [15] e gere o executável. Conectando o *kit* LED RGB nos pinos de H5 pode ver efeitos dos sinais gerados pelas cores dos LEDs. Conecte quatro canais do analisador lógico Saleae [13] nos pinos PTE20 (sinal com período igual a *timeout* dos pressionamentos), PTE21 (sinal com período configurado para PIT), PTE22 (sinal com período dos eventos IRQ21) e PTE23 (sinal com período de 1s) do microcontrolador, e o seu terra no pino 5 de H5. A pinagem do *shield* FEEC871 é mostrado em [16] e os pinos no *kit* LED RGB, da direita (LED) para esquerda (pinos), correspondem aos pinos 0 a 5 de H5.
  - 1.1 Execute o programa no modo Run, acione a botoeira IRQA5 algumas vezes e faça uma breve descrição do que você observou ao longo da execução do programa. .
  - 1.2 **Distribuição de Sinais de Relógio:** Qual é o valor assumido pelo campo `SIM_CLKDIV1_OUTDIV4` na inicialização padrão (Seção 12.2.12/página 210 em [3])? Qual é o valor configurado em `rot6_aula`? Quais dos módulos, ~~GPIOx~~, SysTick, PIT e RTC, **são têm as frequências dos seus contadores** afetados por esta configuração?
  - 1.3 **Módulo PIT:** Registre as larguras dos pulsos dos sinais nos pinos PTE20 e PTE21 com `printf`.
    - 1.3.1 A largura dos pulsos registrados no pino PTE21 está condizente com as configurações feitas em `SIM_CLKDIV1` e `PIT_LDVAL0`? Se aumentarmos ou diminuirmos os valores no campo `SIM_CLKDIV1_OUTDIV4` ou em `PIT_LDVAL0`, o que acontecerá com as larguras dos pulsos dos sinais visualizados pelo analisador lógico?
    - 1.3.2 A largura dos pulsos registrados no pino PTE20 está condizente com as configurações feitas em `SIM_CLKDIV1` e `PIT_LDVAL0` e `POSTSCALER`? O que acontecerá com as larguras dos pulsos dos sinais em PTE20 e PTE21, se aumentarmos ou diminuirmos somente os valores de `POSTSCALER`?
    - 1.3.3 Setando o divisor `SIM_CLKDIV1` em 1, **ou seja `SIM_CLKDIV1_OUTDIV4` setado em 0b000 e `SIM_CLKDIV1_OUTDIV1` pré-fixado em 0b0000**, qual valor deve ser

configurado em `PIT_LDVAL0` para gerar interrupções periódicas de 2,75s? Certifique, reexecutando o programa após alterações pertinentes e geração no novo código executável.

**1.4 Módulo RTC:** Ajuste a escala da saída do analisador de forma que possa ver um pulso completo em PTE22. Registre as larguras dos pulsos dos sinais nos pinos PTE22 e PTE23 com *printscreen*.

1.4.1 A largura dos pulsos no pino PTE23 está condizente com a programação? Justifique com base no seu conhecimento sobre o módulo RTC, **lembrando que os valores computados pela Eq. (5) e acessados pela função `RTC_lpo_getTime` são truncados em segundos.**

1.4.2 Se substituirmos a frequência do sinal de relógio de 1kHz para 10kHz, quais seriam as larguras dos pulsos em PTE22 e PTE23 se mantivermos o mesmo programa? Justifique com base no seu conhecimento sobre o módulo RTC.

1.4.3 Lembrando que a resolução do alarme passa para 32,768s com LPO como a fonte de pulsos de relógio, propõe uma forma de implementar, por *software*, um alarme com resolução em segundos?

**1.5 Incremento de Segundos por *Polling*:** Em qual função do arquivo `RTC.c` o sinal no pino PTE22 é gerado? A largura dos pulsos está condizente com a programação? Se substituirmos a frequência do sinal de relógio de 1kHz para 10kHz, quais adaptações deveremos fazer nas Eqs. (5) e (6)? **Obs.: Diferente do sinal medido em PTE23 que é amostrado por *polling* (software), o sinal medido em PTE22 é gerado por interrupção (hardware).**

**1.6 Conversão de Inteiros para *Strings*:** Os horários no formato HH:MM:SS contém sempre dois dígitos mesmo que os valores sejam menores que 10. Descreva sucintamente como são inseridos os '0' na função `ConvertSectoDayString` quando os valores são menores que 10.

**1.7 Regiões Críticas:** Em `rot6_aula` desabilitamos as interrupções pelo NVIC para proteger a região crítica

```
estado = ISR_LeEstado ();
```

```
ISR_leHorario (&dias, &horas_atual_local, &minutos_atual_local, &segundos_atual_local);
```

Substitua as desabilitações por NVIC, `GPIO_desativaSwitchesNVICInterrupt` e `GPIO_reativaSwitchesNVICInterrupt`, pelas desabilitações por `PORTx`, `GPIO_desativaSwitchesIRQA5Interrupt` e `GPIO_reativaSwitchesIRQA5Interrupt`. Reexecute o novo código executável. Registre o comportamento do sistema observado. Se incluirmos as 2 outras botoeiras, NMI e IRQA12, no processamento, haverá diferença na percepção da fluidez das respostas do sistema?

**1.8 Frequência em Atualizações do RTC:** Para simplificar processamentos da interface com usuários, os horários são armazenados e processados via vetor `hor`.

1.8.1 Em qual função é inicializado o conteúdo de `hor` quando se chaveia do estado NORMAL para outros estados?

1.8.2 Durante uma “sessão” de interações, os valores armazenados em `hor` e os valores em `RTC_TSR` e `RTC_TPR` são equivalentes?

1.8.3 Em qual função os valores em `hor` são transferidos para `RTC_TSR` e `RTC_TPR`? Quais são as condições necessárias para alterar valores nesses 2 registradores?

1.8.4 Identifique a função que atualiza `RTC_TSR` e `RTC_TPR`.

**1.9 Timeout:** Para implementar o *timeout* dos acionamentos da botoeira IRQA5 foi usado o PIT.

1.9.1 Identifique o ponto do fluxo em que a contagem por PIT começa e o ponto em que a contagem termina.

1.9.2 O que garante que toda contagem inicia a partir do “zero”?

**2 Engenharia Reversa:** Execute o projeto `rot6_aula` no modo *Debug* (Seção 2.5/página 25 em [18]).

- 2.1 **Módulo MCG:** Reseta a execução do projeto (Seção 2.5/página 25 em [18]) com um ponto de parada na primeira instrução da função `main`. Ao parar o fluxo neste ponto, certifique a configuração da fonte do sinal `MCGOUTCLOCK` com os valores setados em `MCG_C1` e `MCG_C5`.
- 2.2 Certifique os valores setados nos registradores de configuração do PIT e RTC na inicialização desses dois módulos (aba `Registers`), colocando um *breakpoint* na primeira instrução após as respectivas funções de configuração `PIT_initTimer0` e `RTC_lpo_init`.
- 2.3 Descreva sucintamente o fluxo de controle programado para gerar os sinais nos pinos PTE20, PTE21, PTE22 e PTE23.
- 3 Desenvolva o projeto `relogio_digital` com as unidades de tempo, HH, MM e SS, ajustados por NMI, IRQA5 e IRQA12, respectivamente. Recomenda-se os seguintes passos que procuram reusar os códigos do projeto `rot6_aula` por ter um fluxo de controle similar ao do projeto `relogio_digital`. As diferenças são as duas botoeiras adicionais e a configuração de *timeout*.
  - 3.1 Crie um novo projeto (Seção 2.1/página 4 em [29]).
  - 3.2 Sobreescreva o arquivo `main.c` do projeto `rot6_aula` sobre `main.c` do novo projeto e faça os **testes funcionais** para certificar o porte (Seção 2.2.3/página 14 em [29]).
  - 3.3 Remova as funções de inicialização dos pinos de PTE e as instruções de espelhamento dos eventos nos pinos PTE. Faça os **testes funcionais** para certificar a remoção.
  - 3.4 Remova a função `RTC_ativaSegundoIRQ` que ativa IRQ21.
  - 3.5 **Botoeiras adicionais (bordas de subida):**
    - 3.5.1 Implemente a função `void GPIO_initSwitches (uint8_t NMI_IRQC, uint8_t IRQA5_IRQC, uint8_t IRQA12_IRQC, uint8_t prioridade)` em `GPIO_switches.c` para inicializar as 3 botoeiras com interrupção habilitada. Substitua `GPIO_initSwitchIRQA5` por essa nova função. Gere um executável e faça **testes de unidade** do atendimento de solicitações das 3 botoeiras, pressionando aleatoriamente as 3 botoeiras.
    - 3.5.2 Adicione o tratamento dos eventos de NMI (PTA4) no processamento de horas (HH) em `PORTA_IRQHandler (ISR.c)` e `main (main.c)` de forma similar à botoeira IRQA5. Insira nas funções `GPIO_desativaSwitches*` e `GPIO_reativaSwitches*` o tratamento de PTA4. Faça **testes de unidade** do processamento dos eventos de PTA4,.
    - 3.5.3 Adicione o tratamento dos eventos de IRQA12 (PTA12) no processamento de segundos (SS) em `PORTA_IRQHandler (ISR.c)` e `main (main.c)` de forma similar à botoeira IRQA5. Insira nas funções `GPIO_desativaSwitches*` e `GPIO_reativaSwitches*` o tratamento de PTA12. Faça **testes de unidade** do processamento dos eventos de PTA12.
    - 3.5.4 Com as 3 botoeiras integradas, faça **testes comparativos de unidade** da fluidez das respostas do sistema e implemente a melhor alternativa para desabilitar as interrupções antes de entrar na região crítica **com base na resposta ao item 1.7. Se você não perceber diferenças, escolha uma das duas alternativas.**
  - 3.6 **Timeout:** Configure PIT com os valores calculados em 1.3.3. Ajuste a rotina de serviço `PIT_IRQHandler` para processamento sem `POSTSCALER`.
  - 3.7 Habilite *Print Size* para uma simples análise do tamanho de memória ocupado. Gere um executável e faça **testes funcionais** do projeto ajustando os horários aleatoriamente para ver se a resposta está condizente com a especificação.
  - 3.8 Revise a documentação das funções nos arquivos-cabeçalho. Gere uma documentação do projeto com Doxygen [9].

## RELATÓRIO

O relatório deve ser devidamente identificado, contendo a identificação do instituto e da disciplina, o experimento realizado, o nome e RA do aluno. Para este experimento, responda, num arquivo em pdf,

as perguntas nos itens 1 e 2. Exporte o projeto `relogio_digital` devidamente documentado num arquivo comprimido no IDE CodeWarrior. Suba os dois arquivos no sistema [Moodle](#). Não se esqueça de limpar o projeto (*Clean ...*) e apagar as pastas `html` e `latex` geradas pelo Doxygen antes.

## REFERÊNCIAS

- [1] Freescale. Kinetis L Peripoeral Module Quick Reference  
<https://www.dca.fee.unicamp.br/cursos/EA871/references/ARM/KLQRUG.pdf>
- [2] ARMv6-M Architecture Reference manual  
<https://www.dca.fee.unicamp.br/cursos/EA871/references/ARM/ARMv6-M.pdf>
- [3] *KL25 Sub-Family Reference Manual – Freescale Semiconductors (doc. Number KL25P80M48SF0RM)*, Setembro 2012.  
<https://www.dca.fee.unicamp.br/cursos/EA871/references/ARM/KL25P80M48SF0RM.pdf>
- [4] Convert seconds to HH:MM:SS  
<https://www.csestack.org/online-tool-to-convert-seconds-to-hours-minutes-hhmmss/>
- [5] Roteiro 5  
<http://www.dca.fee.unicamp.br/cursos/EA871/1s2023/roteiros/roteiro5.pdf>
- [6] Tutorialspoint. Convert an int to ASCII character in C/C++.  
<https://www.tutorialspoint.com/convert-an-int-to-ascii-character-in-c-cplusplus>
- [7] Split a number into digits  
<https://www.log2base2.com/c-examples/loop/split-a-number-into-digits-in-c.html>
- [8] `rot6_aula`  
[http://www.dca.fee.unicamp.br/cursos/EA871/1s2023/codes/rot6\\_aula.zip](http://www.dca.fee.unicamp.br/cursos/EA871/1s2023/codes/rot6_aula.zip)
- [9] Documentação com Doxygen  
<https://www.doxygen.nl/manual/docblocks.html>
- [10] Keil Forum. Conversion of integer to ASCII for display.  
<https://community.arm.com/support-forums/f/keil-forum/17118/conversion-of-integer-to-ascii-for-display>
- [11] Freescale. Kinetis L Peripoeral Module Quick Reference  
<https://www.dca.fee.unicamp.br/cursos/EA871/references/ARM/KLQRUG.pdf>
- [12] *Datasheet do display LCD*  
<https://www.dca.fee.unicamp.br/cursos/EA871/references/datasheet/AC162A.pdf>
- [13] Erich Styger. EnterCritical() and ExitCritical(): Why Things are Failing Badly.  
<https://mcuoneclipse.com/2014/01/26/entercritical-and-exitcritical-why-things-are-failing-badly/>
- [14] Diagrams.net  
<https://www.diagrams.net/>
- [15] Roteiro 3  
<http://www.dca.fee.unicamp.br/cursos/EA871/1s2023/roteiros/roteiro3.pdf>
- [16] Esquemático do *shield* FEEC871  
[https://www.dca.fee.unicamp.br/cursos/EA871/references/complementos\\_ea871/Esquematico\\_EA871-Rev3.pdf](https://www.dca.fee.unicamp.br/cursos/EA871/references/complementos_ea871/Esquematico_EA871-Rev3.pdf)
- [17] Engenharia Reversa: como usá-la no desenvolvimento de *software*?  
<https://www.ivoryit.com.br/2022/05/06/engenharia-reversa-como-pode-ser-usada-no-desenvolvimento-de-software/>
- [18] Wu, S.T. Ambiente de Desenvolvimento de Software  
[https://www.dca.fee.unicamp.br/cursos/EA871/references/apostila\\_C/AmbienteDesenvolvimentoSoftware\\_V1.pdf](https://www.dca.fee.unicamp.br/cursos/EA871/references/apostila_C/AmbienteDesenvolvimentoSoftware_V1.pdf)



Maio e Julho de 2021  
Novembro de 2020